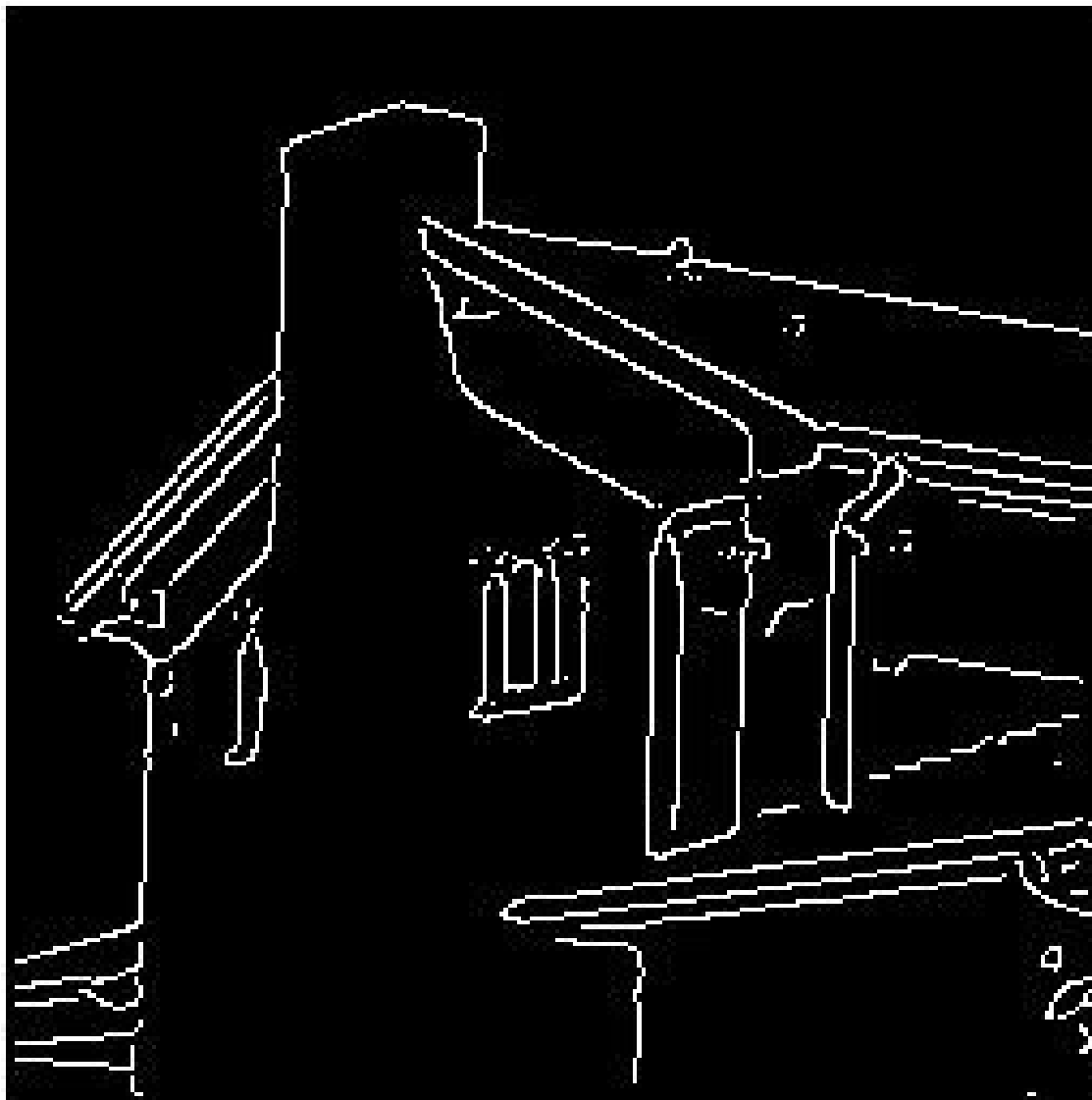
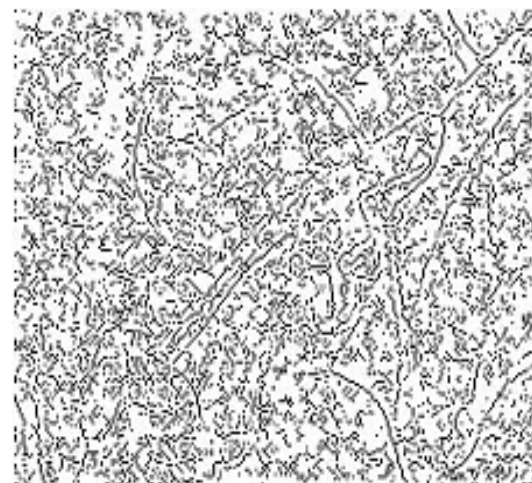


# Detekce hran



# Detekce hran

hranová informace versus šum



# Detekce hran

obdoba Cannyho detektoru hran

$$\vec{\nabla} f(x, y) = \begin{pmatrix} \frac{\partial f(x, y)}{\partial x} \\ \frac{\partial f(x, y)}{\partial y} \end{pmatrix}$$

- absolutní hodnota
- lokální maxima ve směru maximální změny

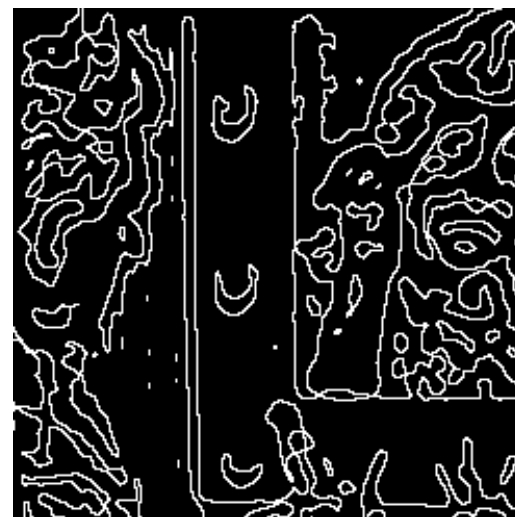
originál



Canny



Maar



# Detekce hran

- multiscale verze - vyhlazování low-pass filtrem
  - nejčastěji Gauss
  - $\theta(x,y)$

$$\psi^1(x, y) = \frac{\partial \theta(x, y)}{\partial x}$$

$$\psi^2(x, y) = \frac{\partial \theta(x, y)}{\partial y}$$

$$\psi_{2^j}^k(x, y) = \frac{1}{2^j} \psi^k\left(\frac{x}{2^j}, \frac{y}{2^j}\right) \quad \text{for } 1 \leq k \leq 2.$$

# Detekce hran

$$\tilde{\theta}_{2^j}(x, y) = \frac{1}{2^j} \theta\left(\frac{-x}{2^j}, \frac{-y}{2^j}\right)$$

$$\tilde{\psi}_{2^j}^1(x, y) = -2^j \frac{\partial \tilde{\theta}_{2^j}(x, y)}{\partial x} \quad \tilde{\psi}_{2^j}^2(x, y) = -2^j \frac{\partial \tilde{\theta}_{2^j}(x, y)}{\partial y}$$

2 wavelety - odpovídají vektoru gradientu vyhlazeného obrázku

$$\begin{aligned} \begin{pmatrix} T^1 f(2^j, u, v) \\ T^2 f(2^j, u, v) \end{pmatrix} &= -2^j \begin{pmatrix} \frac{\partial}{\partial u} (f * \tilde{\theta}_{2^j})(u, v) \\ \frac{\partial}{\partial v} (f * \tilde{\theta}_{2^j})(u, v) \end{pmatrix} \\ &= -2^j \vec{\nabla} (f * \tilde{\theta}_{2^j})(u, v). \end{aligned}$$

# Detekce hran

velikost gradientu

$$Mf(2^j, u, v) = \sqrt{|T^1 f(2^j, u, v)|^2 + |T^2 f(2^j, u, v)|^2}$$

směr gradientu

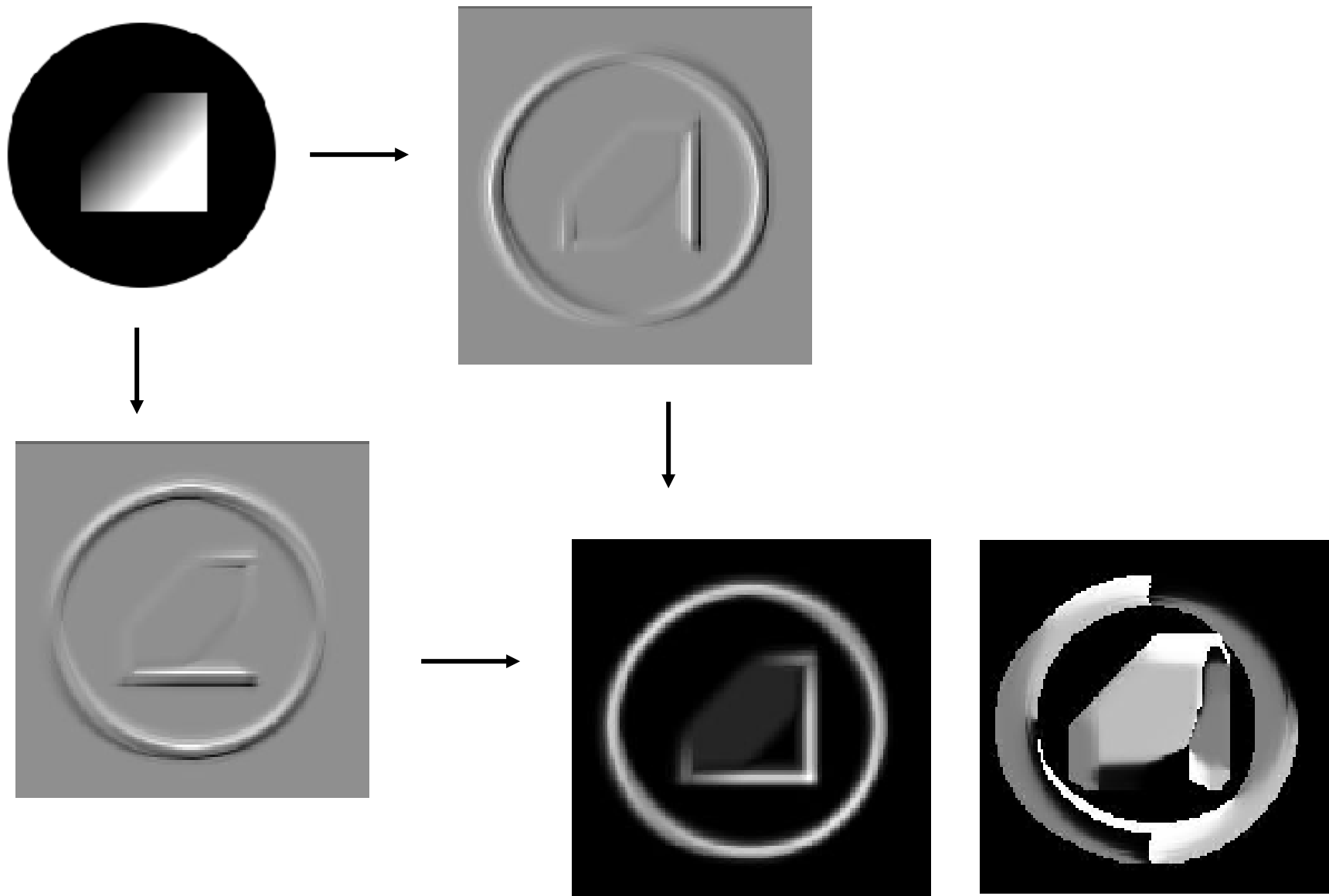
$$Af(2^j, u, v) = \operatorname{arctan} \left( \frac{T^2 f(2^j, u, v)}{T^1 f(2^j, u, v)} \right)$$

hrany - 1D lokální maxima M ve směru A

posun obrázku

- posun maxim
- nemění se hodnoty maxim
- koeficienty WT se můžou měnit

# Detekce hran



# Detekce hran

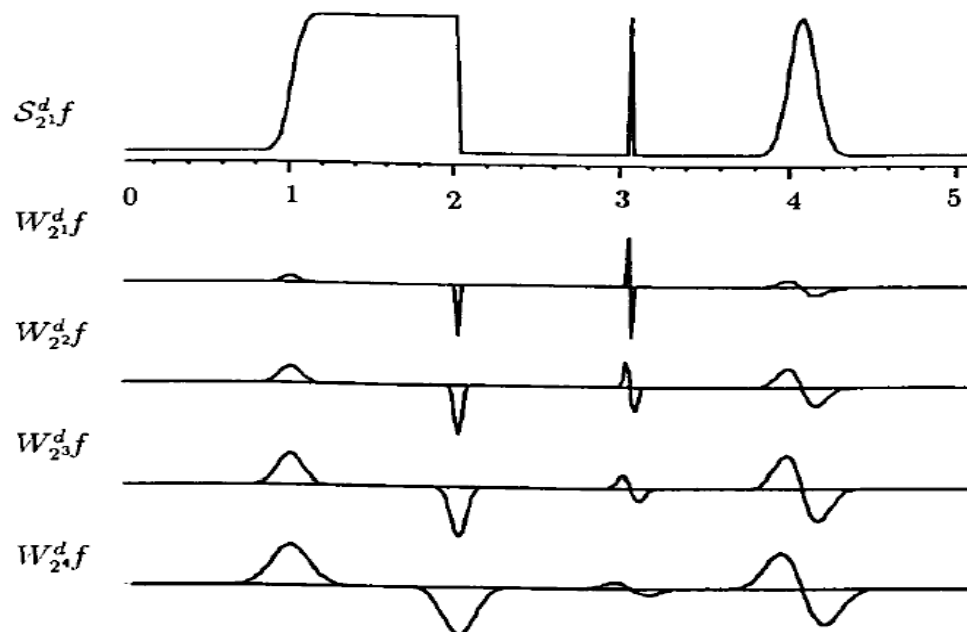


M, maxima tmavé

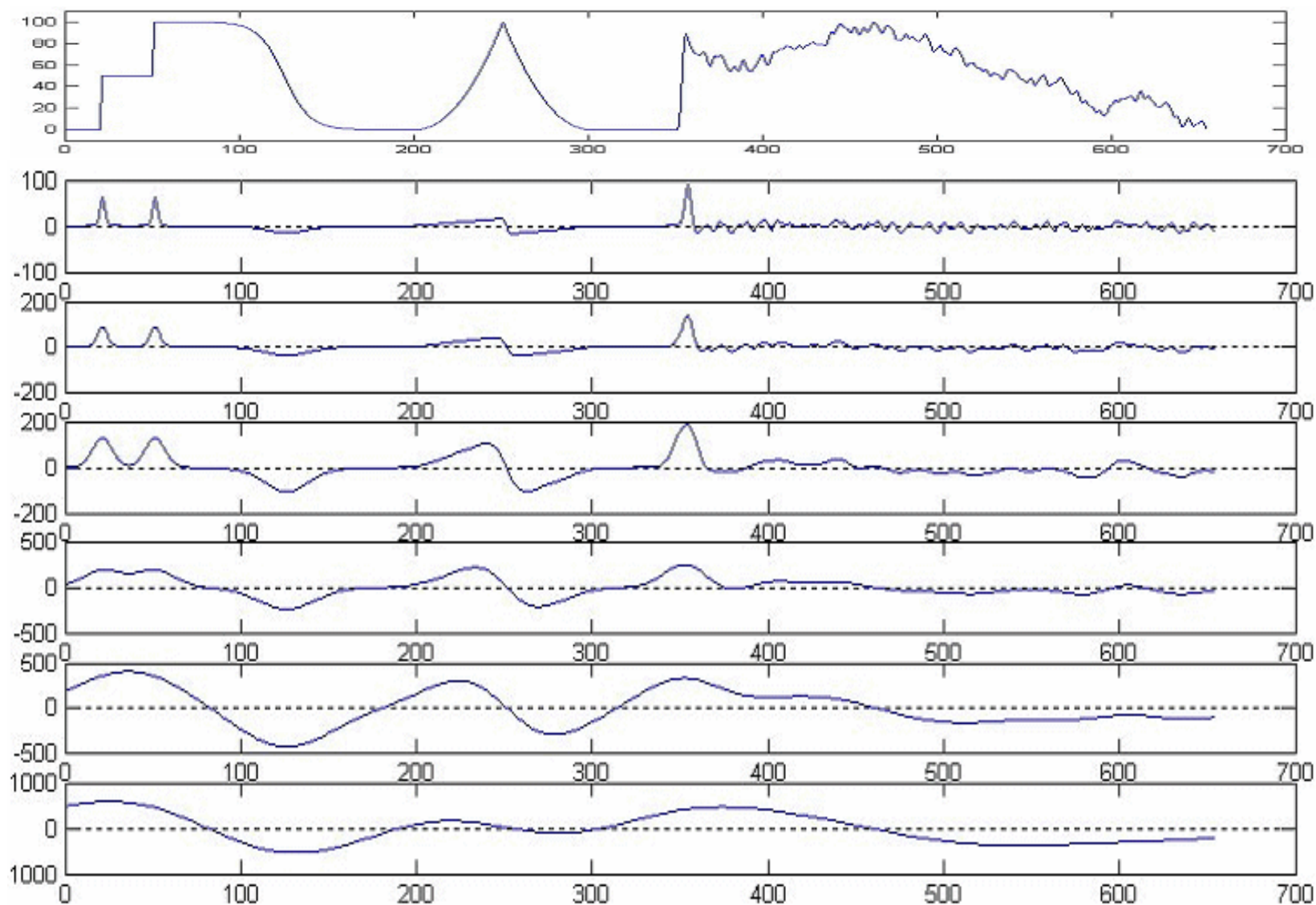


# Detekce hran - analýza

- multiscale informace o hranách, z jednotlivých úrovní
- analýza vztahů mezi jednotlivými úrovněmi
- mizení koeficientů do hloubky závisí na lokální hladkosti signálu

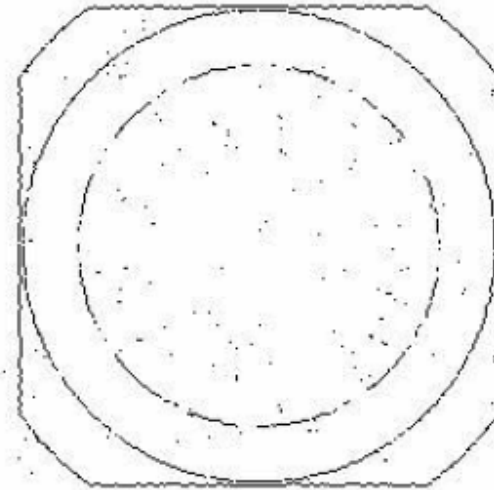
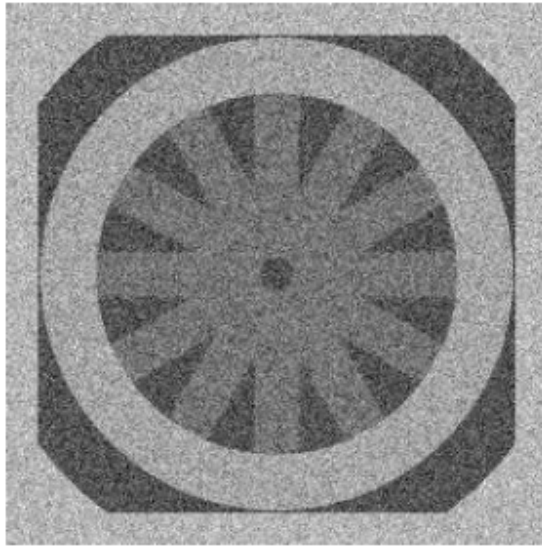


# Detekce hran - analýza



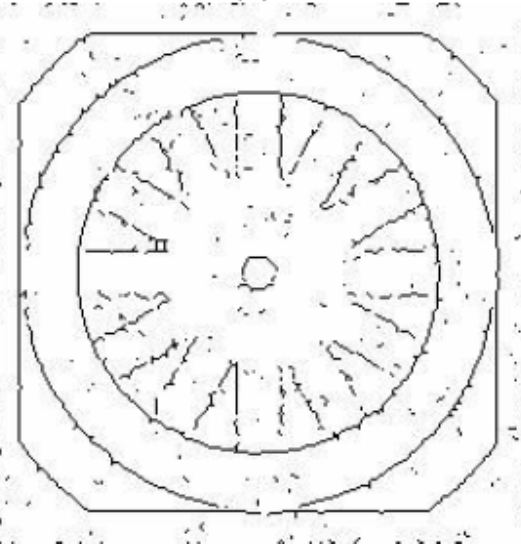
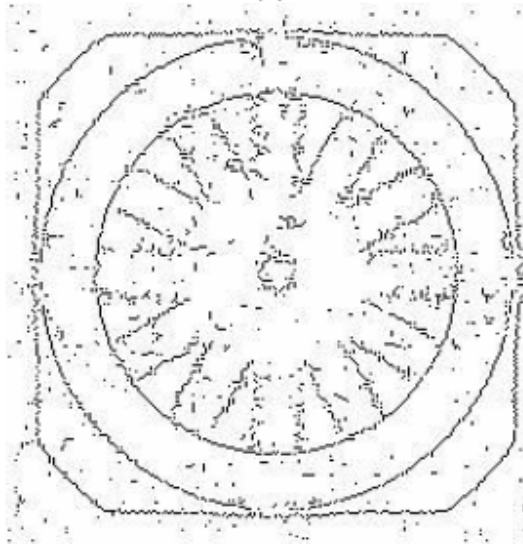
# Detekce hran - analýza

obr a šum



Sobel

Canny



wavelety

# Detekce hran – měřítko, šum

mizení detailů, nejistá lokalizace



1

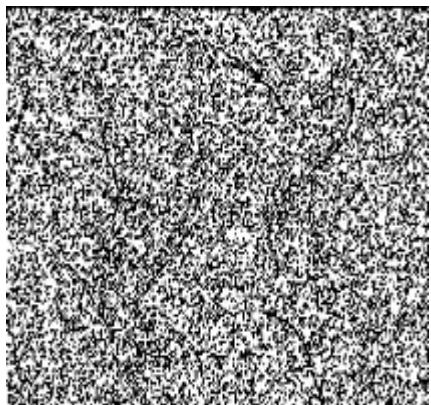


20



80

ústup vlivu šumu



2



6

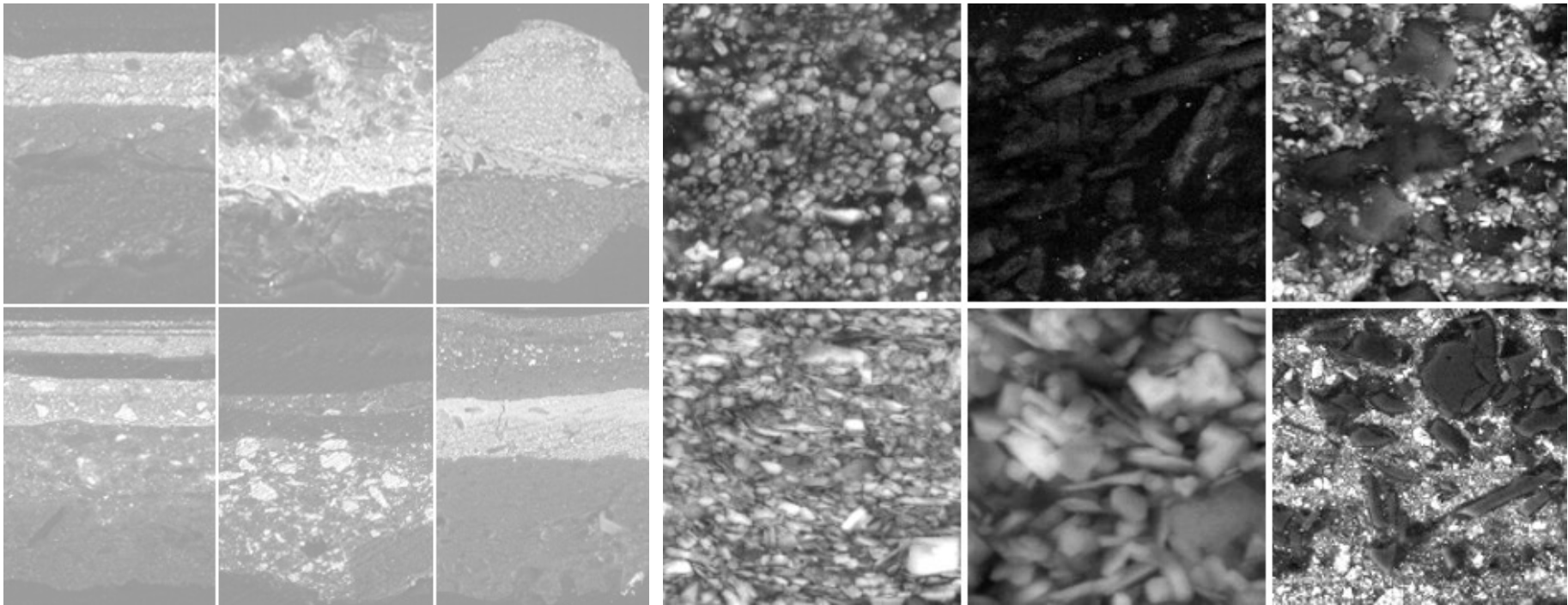


12

# Reprezentace textur

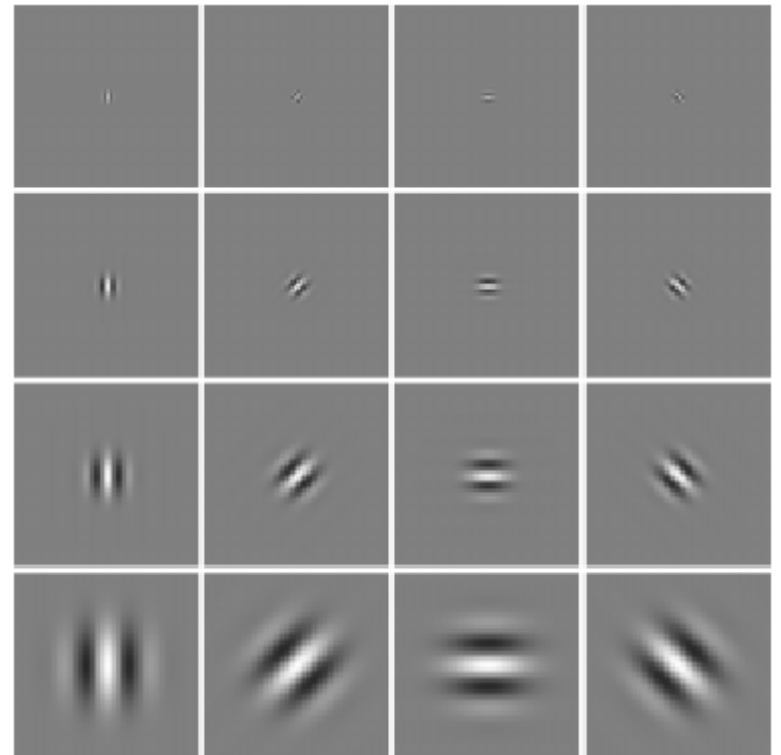
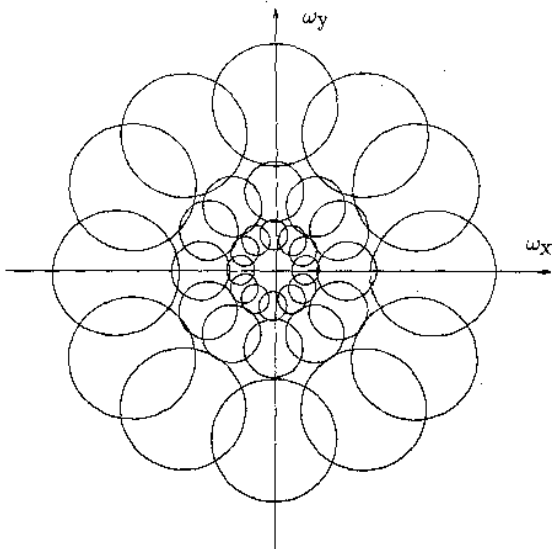
- textury (biologická motivace)
- waveletová transformace - frekvence a lokalizace
- $\sum (\text{koef}^2)$  ... energie, sada pro jednotlivé škály

*wavelet energy signatures*



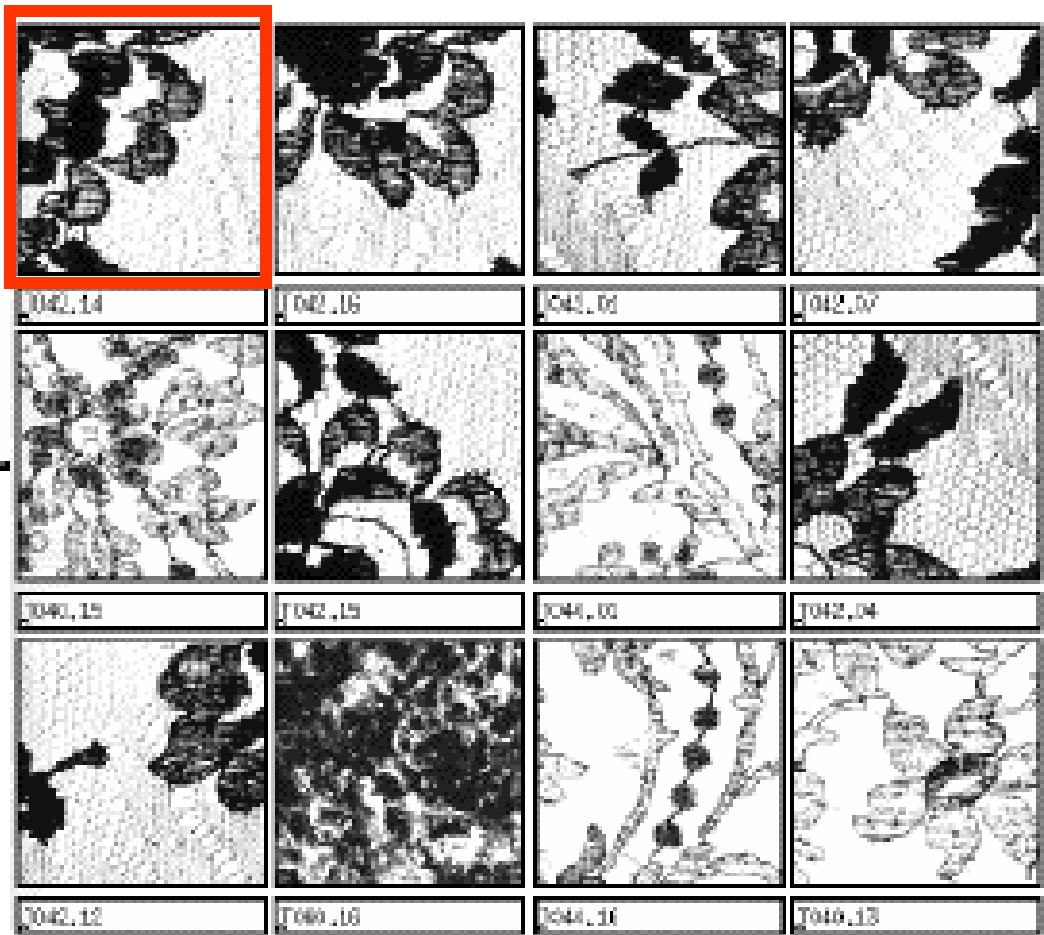
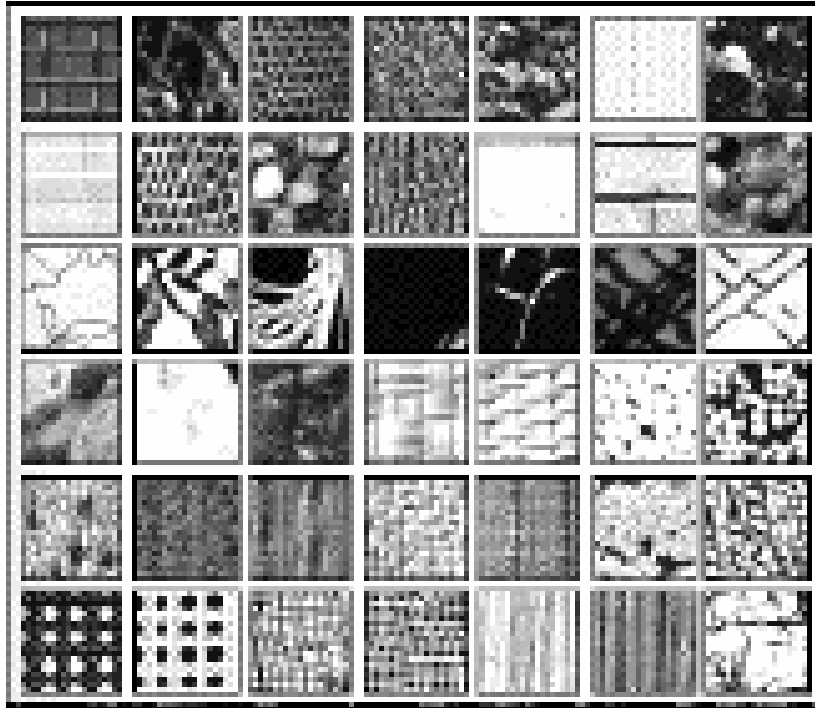
# Reprezentace - Gabor wavelety

- Hubel, Wiesel – buňky v mozku,
- odezva závislá na frekvenci a směru
- může být modelováno sinem modulovaným Gaussem
- určitý typ waveletové transformace v hlavě



# Reprezentace - Gabor wavelety

- image retrieval

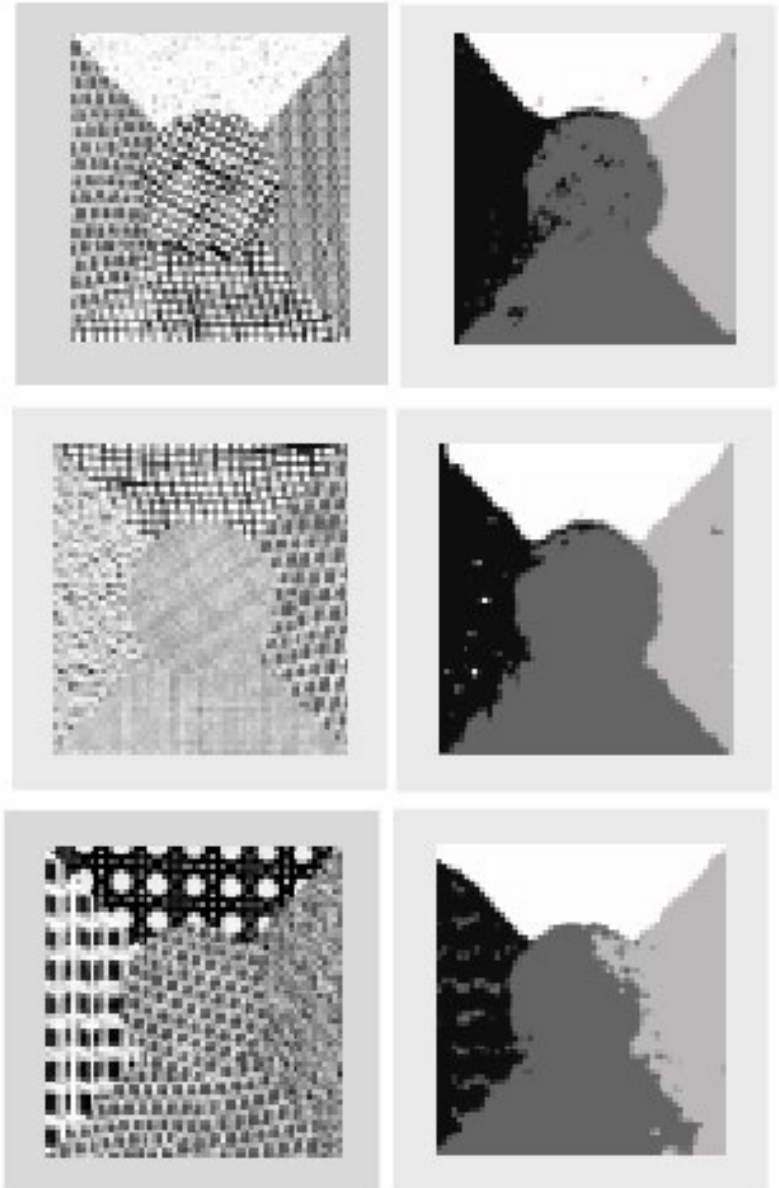
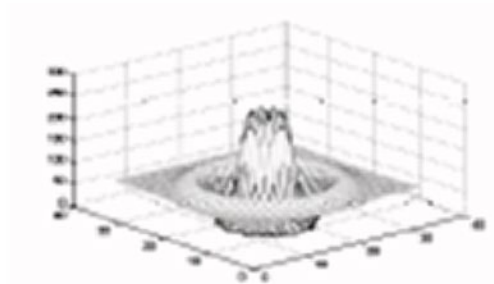


# Reprezentace – segmentace textur

- kruhový Gabor filtr  
(rotační invariance)

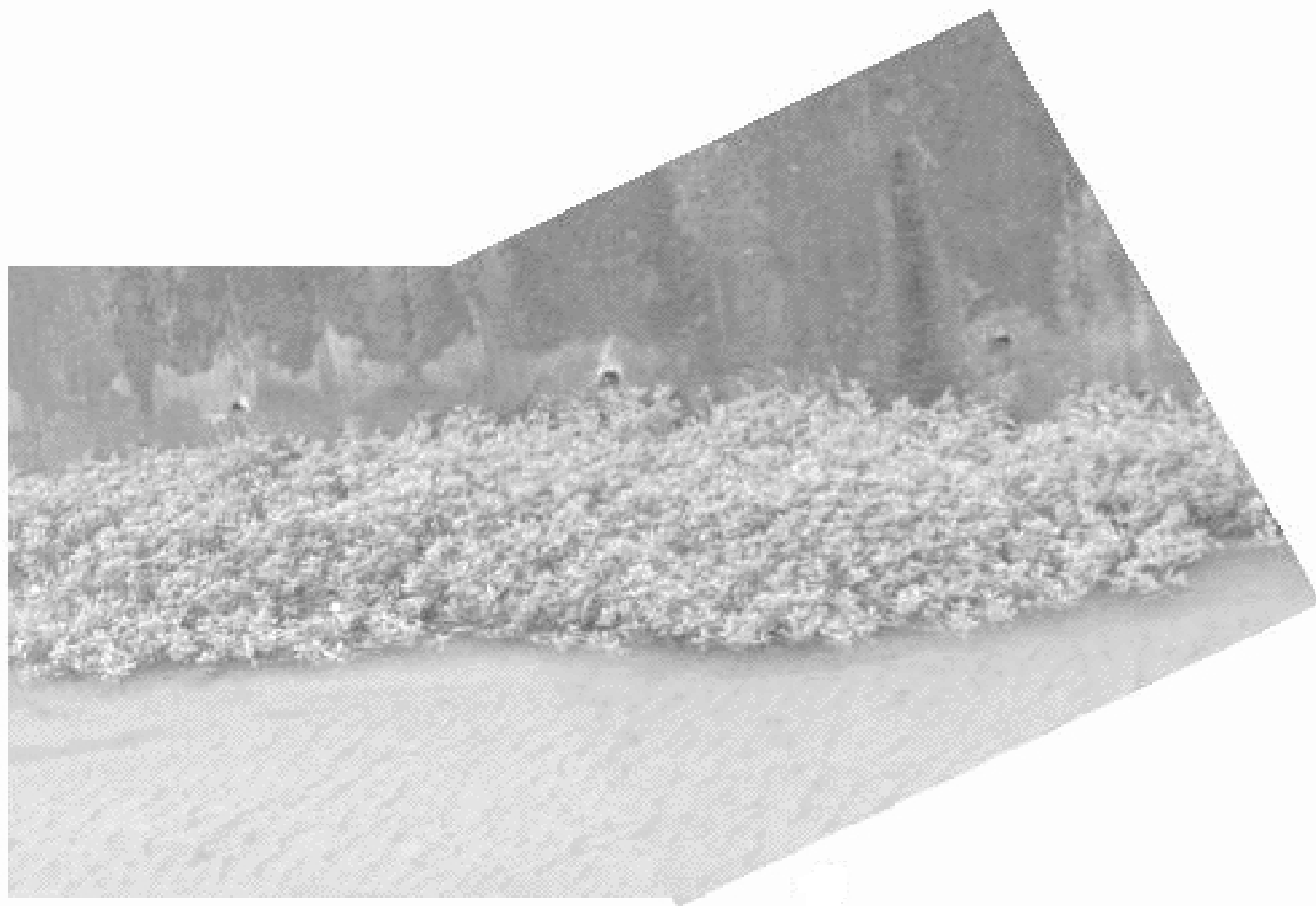
-kruhová maska ->  
vektor příznaků

-klasifikace do tříd



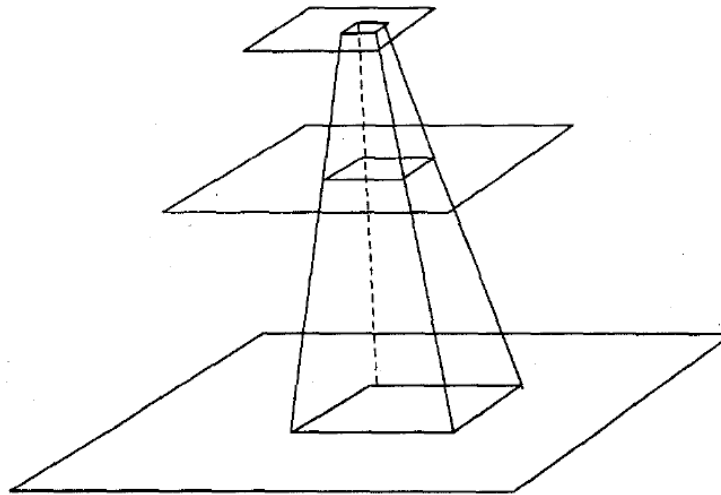


# Registrace snímků



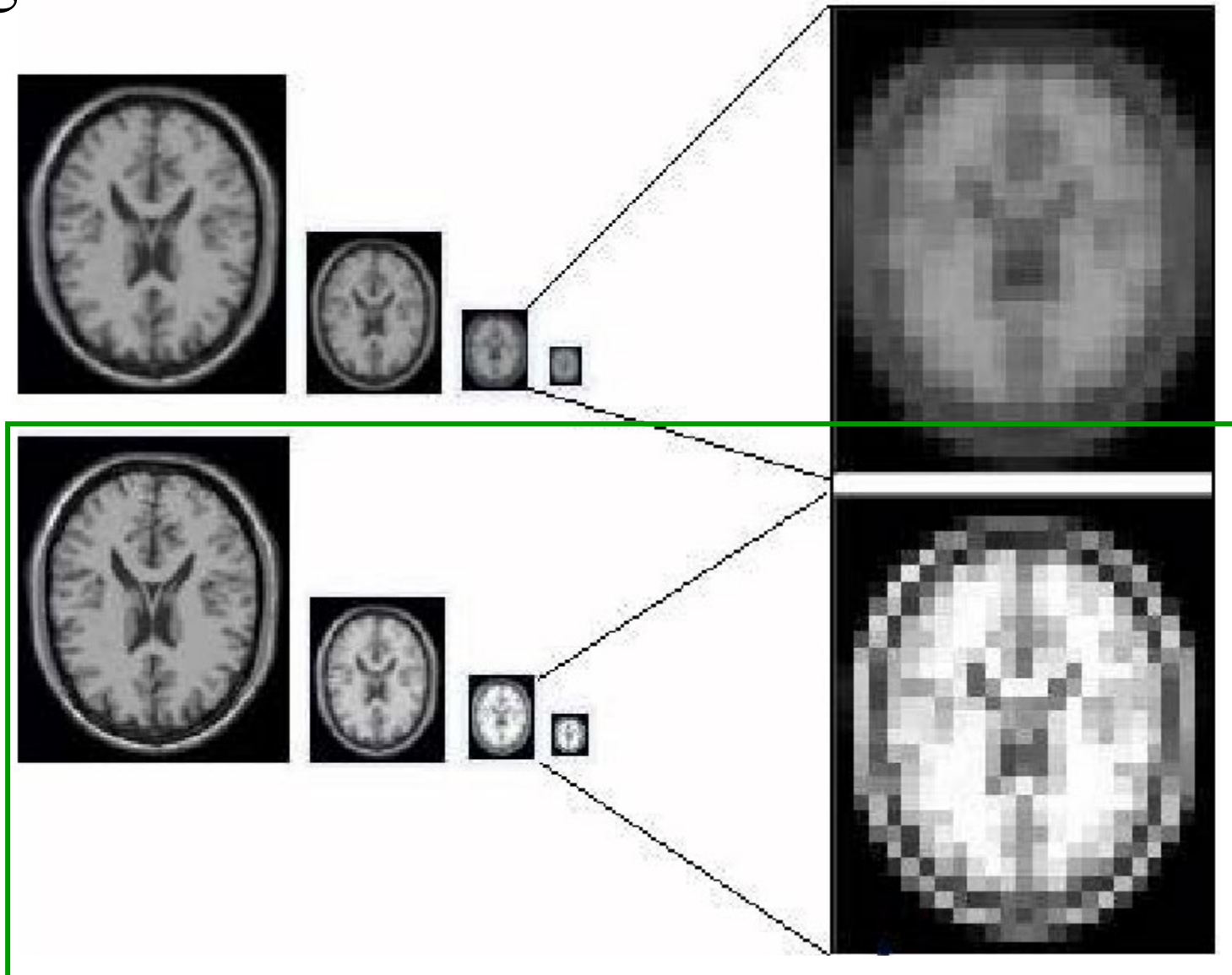
# Registrace snímků

- postupně z hloubky, v každém kroku provést odhadnutou transformaci
- je možno v hloubce začít full-search přes prostor parametrů, pak na vyšších úrovních omezit oblast vyhledávání



- je možno použít bloky místo detekovaných maxim

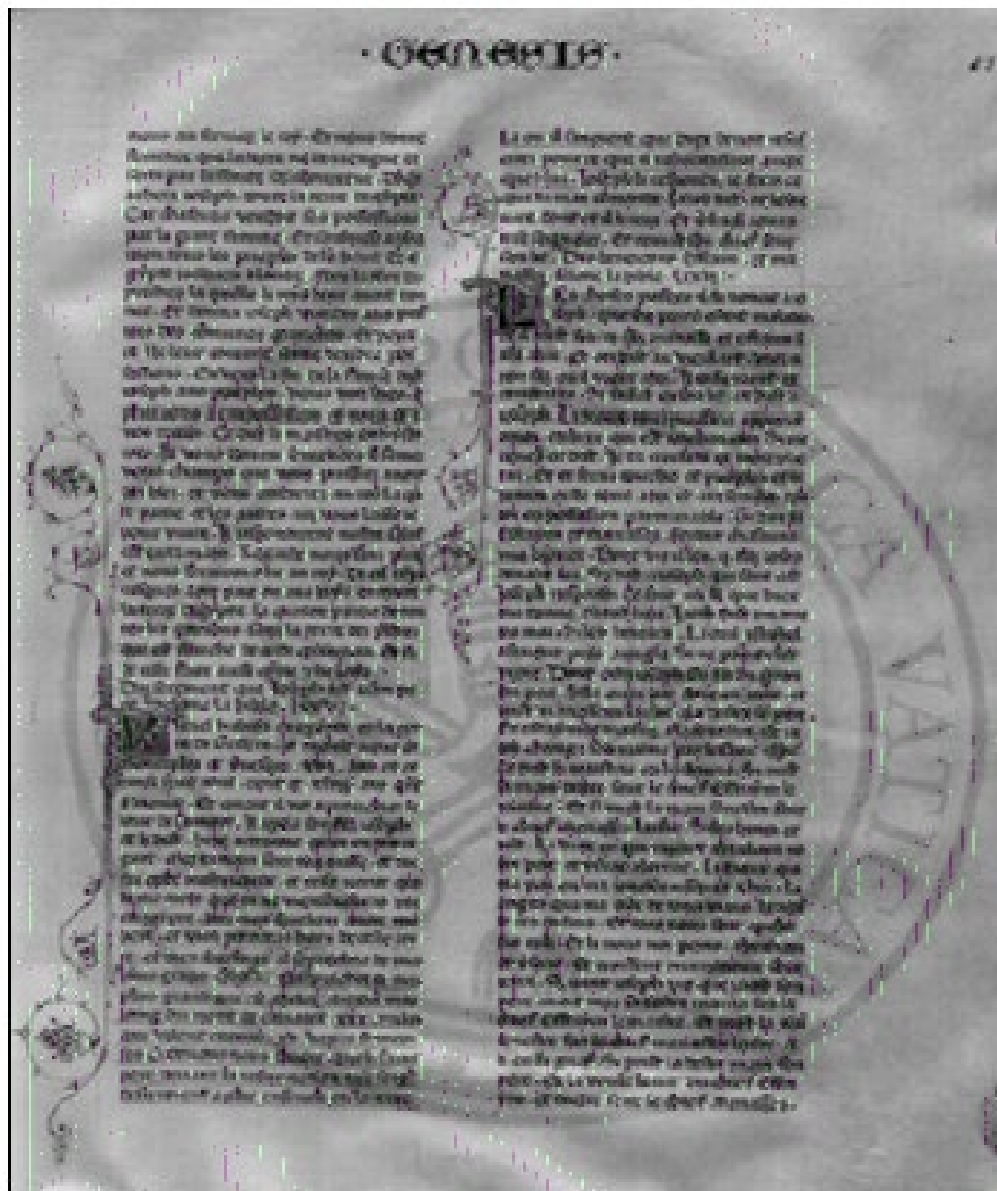
# Registrace snímků



# Digital watermarking



# Digital watermarking



# Digital watermarking



# Digital watermarking

- neviditelný podpis v obraze, důkaz původu



- vypadat náhodně, neviditelně
- viditelný watermarking stabilní x kvalita snímku klesá
- detekovatelná korelací
- StriMark – testování robustnosti (náhodné bilineární tr.)

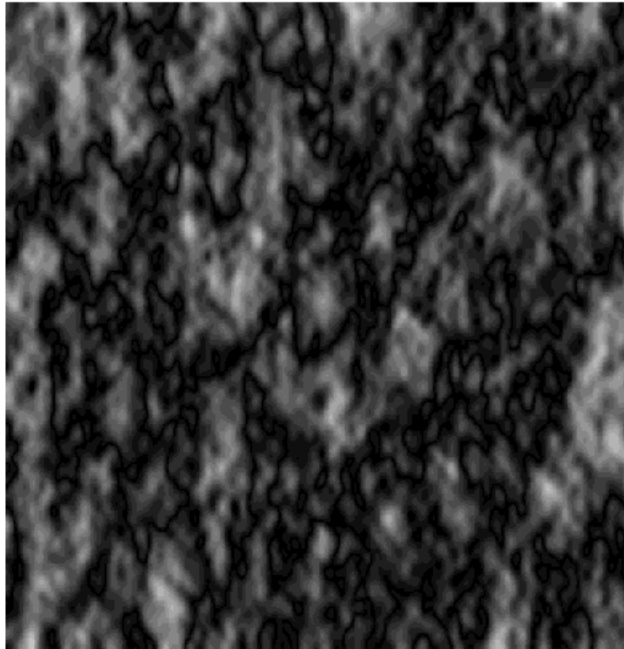
# Digital watermarking

- stabilní vůči změnám (šum, komprese, výřez), i vůči záměrnému poškození -> na význačné struktury
- robustní – vodoznak na významných místech x viditelnost
- blind watermarking – originál není znám při testování
- fragile watermarking – zanikne s jakoukoliv operací
  - detekce manipulací
- semi-fragile watermarking
  - zanikne s nebezpečnou operací



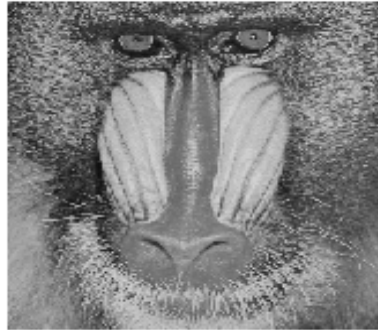
# Digital watermarking

DCT transformace + pseudonáhodné sekvence reálných čísel (1000)  
na 1000 největších koeficientů (Cox 1995 )



# Digital watermarking

- aditivní metody (spread spectrum)
  - lineární modifikace obrazu, korelace pro ověření
    - Gaussovské náhodné řady čísel
    - fúze obrazu



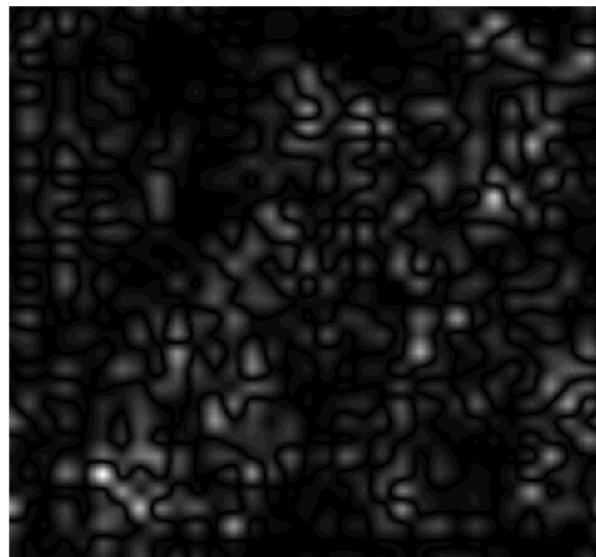
- kvantizační metody
  - nelineární modifikace, ověření kvantizací ( $S \times V$ )
- jiné

# Watermarking - aditivní

-Corvi

-Gaussovská pseudo-náhodná data přidaná na 32x32 LL dek

$$f'(m, n) = f_{mean} + (f(m, n) - f_{mean}) \cdot (1 + \alpha w_i),$$



# Watermarking - aditivní

- Dugad – na hrany

– Daubechies 8, 3 úrovně

detailní koeficienty  $>$  práh  $T$  na ně přidat vodoznak

$$f'(m, n) = f(m, n) + \alpha \cdot |f(m, n)| \cdot w_i.$$

- test, detailní koeficienty  $>$   $T2 >$   $T$  (robustnost)



# Watermarking - kvantizační

- Inoue
- sekvence binárních čísel, Daubechies 16, 3 úrovně
- zerotrees s param. T
- A: všechny zerotrees, ne LL – koef. na  $m / -m$  podle masky

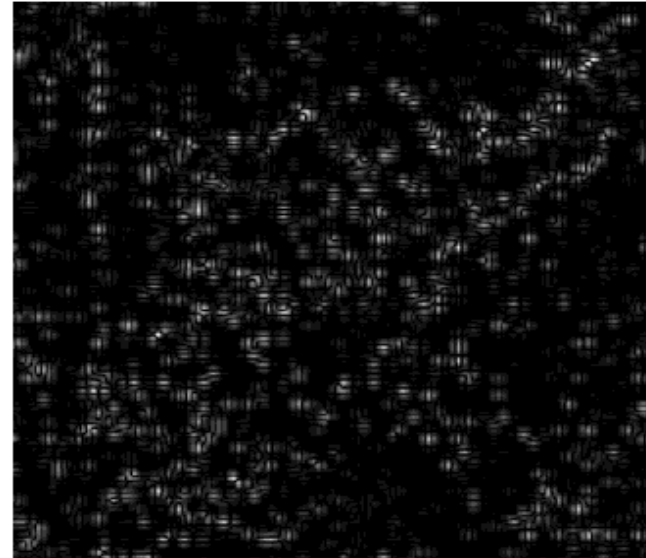
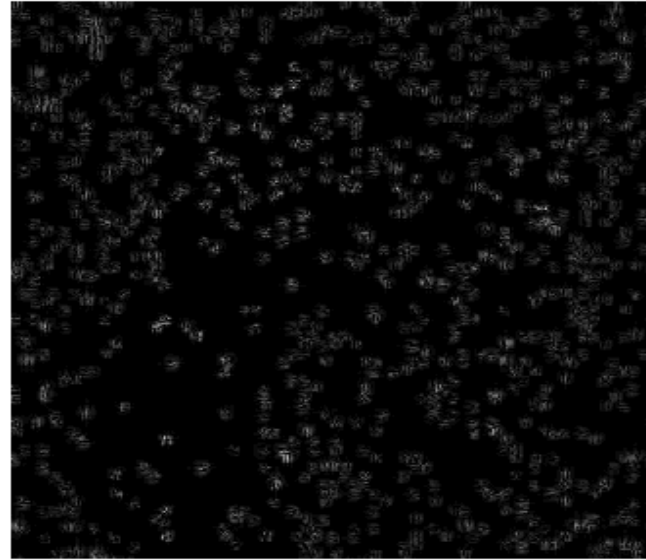
$$w_i = \begin{cases} 0 & M_i < 0 \\ 1 & M_i \geq 0 \end{cases}$$

- B: signifikantní z detailů na 3. úrovni, abs mezi T1 a T2

$$f'(m, n) = \begin{cases} T_2 & w_i = 1 \text{ and } f(m, n) > 0 \\ T_1 & w_i = 0 \text{ and } f(m, n) > 0 \\ -T_2 & w_i = 1 \text{ and } f(m, n) < 0 \\ -T_1 & w_i = 0 \text{ and } f(m, n) < 0 \end{cases}$$

$$w_i = \begin{cases} 0 & |f^*(m, n)| < (T_1 + T_2)/2 \\ 1 & |f^*(m, n)| \geq (T_1 + T_2)/2 \end{cases}$$

# Watermarking - kvantizační



# SFTZO

- Fourierova transformace
- Teorie waveletové dekompozice
- MRA
- Aplikace wavelet

Komprese

Šum a poškození

Fúze - rozmazání, rozlišení, modalita

Watermarking

Detekce a reprezentace